

胡克定律 $\sigma = E\varepsilon$, $\tau = G\gamma$, $\mu = -\frac{\varepsilon'}{\varepsilon}$, $G = \frac{E}{2(1+\mu)}$

圆杆参数: $I_p = \frac{\pi D^4}{32}$, $W_t = \frac{\pi D^3}{16}$, $I = \frac{\pi D^4}{64}$, $W = \frac{\pi D^3}{32}$, $i = \frac{D}{4}$

方梁: $I_z = \frac{bh^3}{12}$, $W = \frac{bh^2}{6}$, $I_y = I_{yc} + a^2 A$ (空心圆筒乘 $(1-\alpha^4)$)

构件要求: 强度、刚度、稳定性

变形固体基本假设: 连续、均匀、各向同性

外力分类: 表面力/体积力, 分布力/集中力, 静载荷/动载荷

原始尺寸原理: 由于是小变形, 忽略变形带来的受力变化

圣维南原理: 距外力作用部位略远处, 应力分布同外力作用方式无关, 只与等效力有关。

平面假设: 变形前为平面的横截面, 变形后仍保持为平面且垂直于轴线

应力应变分析

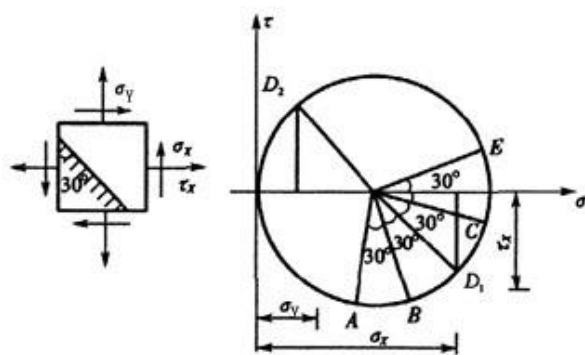
二向应力解析法:

$$\sigma_{\max, \min} = \frac{\sigma_x + \sigma_y}{2} \pm \sqrt{\left(\frac{\sigma_x - \sigma_y}{2}\right)^2 + \tau_{xy}^2}$$

$$\tau_{\max, \min} = \pm \sqrt{\left(\frac{\sigma_x - \sigma_y}{2}\right)^2 + \tau_{xy}^2}$$

正应力极值点 $\tan 2\alpha_0 = -\frac{2\tau_{xy}}{\sigma_x - \sigma_y}$, 切应力极值点 $\tan 2\alpha_1 = \frac{\sigma_x - \sigma_y}{2\tau_{xy}}$

画应力圆的办法: 量取两个方向的正应力和切应力 (切应力取矩顺时针为正), 分别作于 $\sigma-\tau$ 坐标轴上, 以其为直径作应力圆。应力圆上的 2α 角对应图形上的 α 角



应力迹线: 实线—主拉应力 (第一主应力), 虚线—主压应力 (第三主应力), 水泥不抗拉, 故钢筋应尽可能沿第一主应力方向分布
三向应力状态: 各个面的应力状态分布在两个小应力圆和一个大应力圆之间。

最大切应力: $\tau_{\max} = \frac{\sigma_1 - \sigma_3}{2}$ (注意平面应力状态和三向应力状态下, 也就是问空间最大切应力和平面最大切应力, 数值不一样)

广义胡克定律: 小变形下, 线应变只取决于线应力, 切应变只取决于切应力

$$\varepsilon_x = \frac{1}{E} [\sigma_x - \mu(\sigma_y + \sigma_z)], \quad \gamma_{xy} = \frac{\tau_{xy}}{G}, \quad \text{以此类推}$$

体应变 $\theta = \frac{1-2\mu}{E} (\sigma_1 + \sigma_2 + \sigma_3) = \frac{3(1-2\mu)}{E} \cdot \frac{\sigma_1 + \sigma_2 + \sigma_3}{3} = \frac{\sigma_m}{K}$

σ_m 为应力平均值, K 为体积弹性模量, 此为体积胡克定律

复杂应力状态下的应变能密度:

1 应变能和加力次序无关

2 每一主应力与相应主应变之间仍保持线性关系

$$\text{应变能密度 } v_\varepsilon = \frac{1}{2E} [\sigma_1^2 + \sigma_2^2 + \sigma_3^2 - 2\mu(\sigma_1\sigma_2 + \sigma_1\sigma_3 + \sigma_2\sigma_3)]$$

体现在两个方面: 体积改变能密度 v_v , 畸变能密度 v_d

$$\text{体积改变能密度 } v_v = \frac{3}{2} \sigma_m \varepsilon_m = \frac{3(1-2\mu)}{2E} \sigma_m^2 = \frac{1-2\mu}{6E} (\sigma_1^2 + \sigma_2^2 + \sigma_3^2)$$

$$\text{畸变能密度 } v_d = \frac{1+\mu}{6E} [(\sigma_1 - \sigma_2)^2 + (\sigma_2 - \sigma_3)^2 + (\sigma_3 - \sigma_1)^2]$$

强度理论概述: 复杂应力下的材料失效

塑性材料屈服/三向压应力相近 (三四强度理论)

脆性材料断裂/三向拉应力相近 (一二强度理论)

$$\sigma_{r1} = \sigma_1 (\text{max 拉应力}), \quad \sigma_{r2} = \sigma_1 - \mu(\sigma_2 + \sigma_3) (\text{max 伸长线应变})$$

$$\sigma_{r3} = \sigma_1 - \sigma_3 = \sqrt{\sigma^2 + 4\tau^2} (\text{max 切应力})$$

$$\sigma_{r4} = \sqrt{\frac{1}{2} [(\sigma_1 - \sigma_2)^2 + (\sigma_2 - \sigma_3)^2 + (\sigma_3 - \sigma_1)^2]} = \sqrt{\sigma^2 + 3\tau^2} (\text{max 畸变能密度})$$

莫尔强度理论: 以拉伸失效和压缩失效的两个应力圆作外公切线, 如果应力状态落在外公切线外侧, 则认为材料失效。

拉伸 直杆轴向拉压斜截面应力: 垂直方向正应力最大, 45度方向剪应力最大: $\sigma_\alpha = \sigma \cos^2 \alpha$, $\tau_\alpha = \sigma \cos \alpha \sin \alpha$

低碳钢拉伸的力学性能: 弹性-屈服-强化-局部变形

四个极限 比例p, 弹性e, 屈服s, 强度b

★无明显屈服极限的塑性材料, 将产生0.2%塑性应变的应力作为屈服指标 $\sigma_{p0.2}$

伸长率大于5%的材料为塑性材料

$$\text{拉压变形 } \Delta l = \frac{Fl}{EA}, \quad \text{应变能密度 } v_\varepsilon = \frac{\sigma^2}{2E}, \quad W = \frac{F^2 l}{2EA}$$

$$\text{右图三杆超静定: } \delta_3 - \delta_1 = 2\delta_2 \cos \theta$$

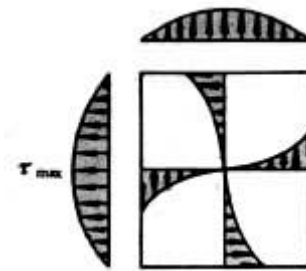
扭转: 切应力互等定理: 相互垂直的两个面上切应力成对存在, 大小相等, 方向垂直于两平面的交线并共同指向或背离交线。

$$\text{薄壁圆筒 } \tau = \frac{M_e}{2\pi r^2 \delta}, \quad v_\varepsilon = \frac{\tau^2}{2G}, \quad \tau = \frac{T\rho}{I_p}, \quad \tau_{\max} = \frac{TR}{I_p} = \frac{T}{W_t}$$

$$\text{角应变 } \gamma = \frac{r\varphi}{l}, \quad \text{端面转角 } \varphi = \frac{Tl}{GI_p}, \quad \text{最大扭转角度}$$

$$\varphi' = \frac{\varphi}{l} = \frac{T}{GI_p} \leq [\varphi'] \quad (\text{算出来是弧度记得转成角度})$$

非圆截面杆扭转, 平面假设不再成立, 横截面上边缘各点切应力都和截面相切, 截面角上无应力。



弯曲内力: 剪力对型心取矩决定正负, 弯矩让梁凹下/曲率增加为正 (画内侧)

弯矩是剪力的积分, 剪力是载荷集度的积分, 集中力导致剪力的突变, 力偶导致弯矩的突变

$$\text{弯曲正应力 } \sigma = \frac{My}{I_z}, \quad \sigma_{\max} = \frac{M}{W}$$

剪力: 假设各点切应力平行于剪力, 切应力沿截面宽度均匀分布

$$\text{矩形截面 } \tau = \frac{F_s}{2I_z} \left(\frac{h^2}{4} - y^2 \right), \quad \tau_{\max} = \frac{F_s h^2}{8I_z}, \quad \text{工字钢腹板承受近均匀切应力}$$

$$\text{挠曲线微分方程: } \theta \approx \tan \theta = \frac{dw}{dx}, \quad \frac{d^2 w}{dx^2} = \frac{M}{EI} \quad (\text{忽略剪力小变形})$$

简支梁只要挠曲线上没有拐点, 总可以用跨度中点挠度代替最大挠度

梁在简单载荷下的变形: (注意挠度正负)

悬臂梁, 左A固定右B悬空, x以左为原点右为正:

$$\text{右端力偶 } w = \frac{M_e x^2}{2EI}, \quad \theta_B = \frac{M_e l}{EI}, \quad w_B = \frac{M_e l^2}{2EI}$$

$$\text{右端集中力 } w = \frac{Fx^2}{6EI} (3l - x), \quad \theta_B = \frac{Fl^2}{2EI}, \quad w_B = \frac{Fl^3}{3EI}$$

$$\text{均布载荷 } w = \frac{qx^2}{24EI} (x^2 - 4lx + 6l^2), \quad \theta_B = \frac{ql^3}{6EI}, \quad w_B = \frac{ql^4}{8EI}$$

简支梁, 左A右B, x以左为原点右为正:

$$w = \frac{M_e x}{6EI} (l - x)(2l - x), \quad \theta_A = \frac{M_e l}{3EI}, \quad \theta_B = \frac{M_e l}{6EI}$$

$$\text{左端力偶 } x = \left(1 - \frac{1}{\sqrt{3}}\right)l \text{ 处 } w_{\max} = \frac{M_e l^2}{9\sqrt{3}EI}, \quad \text{中点 } w_{\frac{l}{2}} = \frac{M_e l^2}{16EI}$$

中间力

$$w = \frac{Fx}{48EI} (3l^2 - 4x^2) \left(0 \leq x \leq \frac{l}{2}\right), \quad \theta_A = \theta_B = \frac{Fl^2}{16EI}, \quad w_{\max} = \frac{Fl^3}{48EI}$$

$$\text{均布载荷 } w = \frac{qx}{24EI} (l^3 - 2lx^2 + x^3), \quad \theta_A = \theta_B = \frac{ql^3}{24EI}, \quad w_{\max} = \frac{5ql^4}{384EI}$$

组合变形——偏心压缩

假设压力作用点坐标 (y_F, z_F) , 造成弯矩 $M_z = Fy_F$, $M_y = Fz_F$

$$\text{组合应力 } \sigma = -\frac{F}{A} \left(1 + \frac{y_F y}{i_z^2} + \frac{z_F z}{i_y^2}\right), \quad \text{中性轴 } \frac{y_F y_0}{i_z^2} + \frac{z_F z_0}{i_y^2} = -1$$

$$\text{截距 } a_y = -\frac{i_z^2}{y_F}, \quad a_z = -\frac{i_y^2}{z_F}, \quad \text{离中性轴最远的点取到应力极值。}$$

$$\text{过截面型心的斜向弯曲力和 } yoz \text{ 平面的 } y \text{ 轴夹角: } \tan \theta = \frac{I_y M_z}{I_z M_y}$$

压杆稳定性问题

小变形下的挠曲线微分方程： $\frac{d^2w}{dx^2} = \frac{M}{EI} = -\frac{F}{EI}w$

解微分方程得临界压力： $F = \frac{\pi^2 EI}{(\mu l)^2}$ （欧拉公式），其中l为最小惯性矩， μl 为相当长度。长度因数 μ ：两端铰支 $\mu=1$ ，一段固定一端自由 $\mu=2$ ，两端固定 $\mu=\frac{1}{2}$ ，一端固定另一端铰支 $\mu=0.7$ 。

临界压应力 $\sigma_{cr} = \frac{\pi^2 E}{\lambda^2}$ ，其中 $\lambda = \frac{\mu l}{i}$ 称为柔度或细长比。（线弹性小变形）大柔度杆才可以使用欧拉公式，条件要求 $\sigma_{cr} < \sigma_p$ ，即 $\lambda \geq \pi \sqrt{\frac{E}{\sigma_p}} = \lambda_p$

如果 $\lambda < \lambda_p$ ，欧拉公式不再适用，一般使用经验公式 $\sigma_{cr} = a - b\lambda$

动载荷

动静法：使用达朗贝尔原理进行分析。

杆件受弯曲时的变形：首先，所有承受变形的杆件都可以视为弹簧

$\Delta l = \frac{Fl}{EA}, \quad k_1 = \frac{EA}{l}, \quad w = \frac{Fl^3}{48EI}, \quad k_2 = \frac{48EI}{l^3}, \quad \varphi = \frac{M_e l}{GI_p}, \quad k_3 = \frac{GI_p}{l}$

假设静载变形 Δ_{st} ，静载载荷 P ，冲击到静止动能 T

则有冲击动荷因数 $k_d = 1 + \sqrt{1 + \frac{2T}{P\Delta_{st}}}$

从而 $\Delta_d = k_d \Delta_{st}$ ， $F_d = k_d P$ ， $\sigma_d = k_d \sigma_{st}$

若冲击是由物体从高度h下落导致的，则有 $k_d = 1 + \sqrt{1 + \frac{2h}{\Delta_{st}}}$

系统受到横向重为P的物体冲击力时， $k_d = \sqrt{\frac{v^2}{g\Delta_{st}}}$ ，静载重力P

由于忽略了其他能量的转换，上述算出来的结果都偏大。

交变应力

低于屈服极限，长期反复作用下，没有明显塑性变形突然断裂
微观裂纹逐渐扩展为宏观裂纹，削弱至一定极限时突然断裂，构件断面分为光滑区和粗糙区，光滑区是由循环的压紧-松开造成的

循环特征/应力比： $r = \frac{\sigma_{min}}{\sigma_{max}}$ ， $r=0$ 称为正脉动循环

平均应力 $\sigma_m = \frac{1}{2}(\sigma_{min} + \sigma_{max})$ 应力幅 $\sigma_a = \frac{1}{2}(\sigma_{max} - \sigma_{min})$

疲劳极限：应力-寿命曲线（S-N曲线）

随着应力水平的降低，循环次数迅速增加；应力水平降低到某个值时，可以循环无穷多次，这一极限称为疲劳极限。

对称循环的疲劳极限记为 σ_{-1}

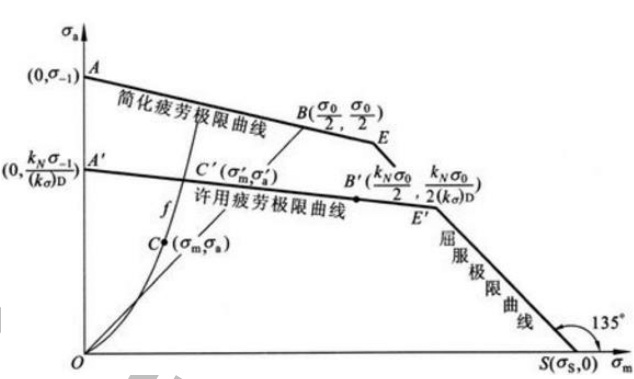
钢式样如果循环 10^7 次之后仍然不会破坏，就不会再破坏，所以把

循环 10^7 下仍未疲劳的最大应力规定为钢材疲劳极限，有色金属没有明显直线部分，一般定义 10^8 为条件疲劳极限。

影响疲劳极限的因素：

- 1、构件外形（带来应力集中），系数 K_σ 或 K_τ （大于1）
- 2、构件尺寸（大试样处于高应力的晶粒更多更容易破坏）尺寸因数 ε_σ 或 ε_τ （小于1）（大试样疲劳极限除以小试样）
- 3、表面质量（粗糙的容易破坏）表面质量因数 β （粗糙小于1，热处理大于1）

综合以上因数得对称循环疲劳极限 $\sigma_{-1}^0 = \frac{\varepsilon_\sigma \beta}{K_\sigma} \sigma_{-1}$



选取平均应力 σ_m 为横轴，应力幅 σ_a 为纵轴的坐标系。每个应力循环对应一个点，xy坐标值相加代表该循环最大应力，斜率代表 $\tan \theta = \frac{1-r}{1+r}$ ，静载在横轴上，脉动

循环在y=x上，对称循环在纵轴上。三点连线，范围内为不疲劳区域。

能量方法：应变能的计算

轴向拉压 $V_\varepsilon = \frac{F^2 l}{2EA}$ ， $V_\varepsilon = \int_l \frac{F_N^2(x)}{2EA} dx$

扭转 $V_\varepsilon = \frac{M_e^2 l}{2GI_p}$ ， $V_\varepsilon = \int_l \frac{T^2(x)}{2GI_p} dx$

弯曲（忽略剪力） $V_\varepsilon = \int_l \frac{M^2(x)}{2EI} dx$

当三者相互独立时，组合变形的应变能为三者的叠加。

应变能普遍形式： $V_\varepsilon = W = \frac{1}{2} F_1 \delta_1 + \frac{1}{2} F_2 \delta_2 + \dots + \frac{1}{2} F_n \delta_n$ ，其中每个 δ_i

均为全部里加上之后形成的位移最终值（克拉贝依隆原理）（线弹性，小变形）

注意功叠加时变力做功恒力做功的区别，线弹性下变力做功乘1/2
功的互等定理： $F_1 \delta'_1 + F_2 \delta'_2 = F_3 \delta'_3 + F_4 \delta'_4$

位移的互等定理：只有 F_i 和 F_j 且相等时， $\delta'_i = \delta'_j$

上述互等定理的力和位移都是广义的，可以换成力矩和角位移。

卡氏定理

$\delta_i = \frac{\partial V_\varepsilon}{\partial F_i}$ 应变能对载荷的偏导数等于载荷作用点沿载荷方向的位移

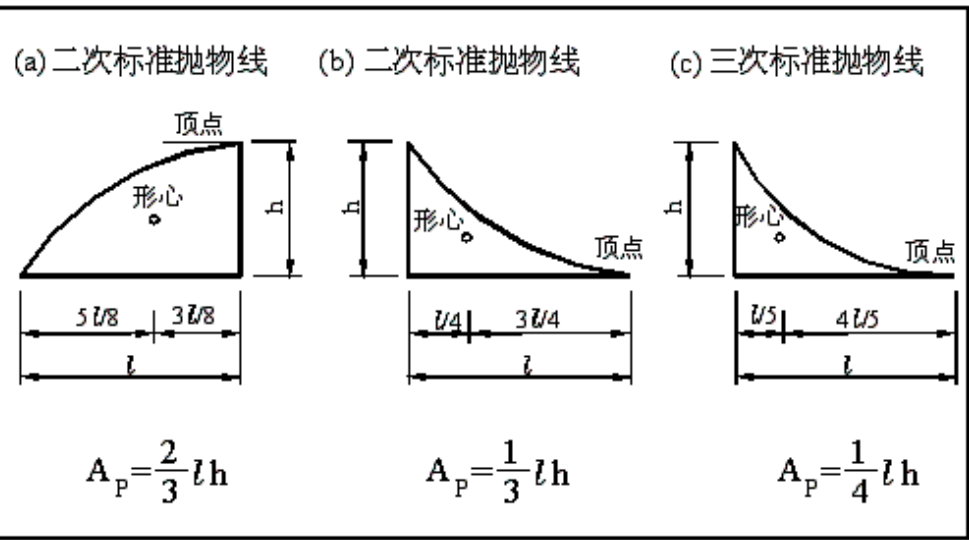
如果想求位移没有力，就先加上力再让它等于0。

单位载荷法： $\Delta = \int_l \frac{F_N(x) \bar{F}_N(x)}{EA} dx + \int_l \frac{T(x) \bar{T}(x)}{GI_p} dx + \int_l \frac{M(x) \bar{M}(x)}{EI} dx$

求杆弯曲的图乘法： $\Delta = \frac{1}{EI} \int M(x) \bar{M}(x) dx = \frac{\omega \cdot \bar{M}_c}{EI}$

其中 ω 为原弯矩图的面积（过顶点的抛物线是2/3、1/3）

\bar{M}_c 为原弯矩图型心的x坐标对应于单位载荷时的弯矩



注意用单位载荷法时，需要先求出所有支座反力才能求出正确弯矩

超静定问题

判断超静定次数（一个平面封闭刚架为三次超静定）

概念：基本静定系，相当系统

分析方法：力法（基于卡氏定理，不需要找几何关系分析）

先解除多余约束换成力，然后求出应变能，应变能对力求导为0（位置约束），从而得到变形协调方程

力法的正则方程： $\delta_{i1} X_1 + \Delta_{iF} = 0$

N次超静定基本形式： $\delta_{i1} X_1 + \delta_{i2} X_2 + \dots + \delta_{in} X_n + \Delta_{iF} = 0$

X_j —多余未知力 δ_{ij} —基本静定系上 $X_j=1$ 单独作用时在 X_i 作用点沿 X_i 方向的位移 Δ_{iF} —基本静定系上只有原载荷引起的 X_i 作用点沿其方向的位移

解题思路：先用单位载荷法算出所有 δ_{ij} ，然后代入求解

对称性应用：对称结构，对称性截面上只有轴力和弯矩，反对称结构只有剪力

三弯矩方程：将梁拆成一段段用铰支连起来的梁，弯矩作为未知力，对每一段应用三弯矩方程。

$\delta_{n(n-1)} X_{n-1} + \delta_{nn} X_n + \delta_{n(n+1)} X_{n+1} + \Delta_{nF} = 0$

适配课程：浙江大学《材料力学（乙）》

适配教材：《材料力学》，刘鸿文

原创：喵星考拉 修订：张博伦

欢迎扫描二维码关注公众号获取更多资讯

祝各位同学取得好成绩

版权所有 翻版必究

